

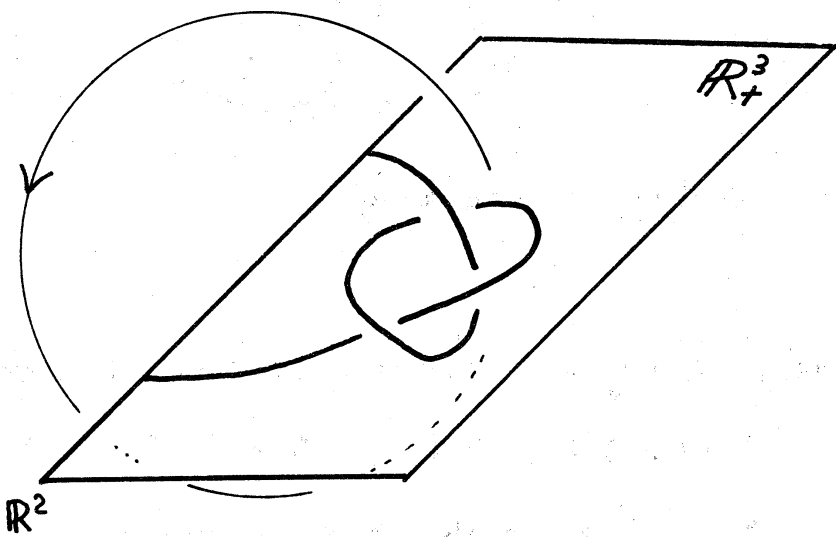
Twisting and Rolling

神大 理. 寺垣内 政一
(Masakazu Teragaito)

§1. 1-knot から何らかの operation で得られる 2-knot
を考える:

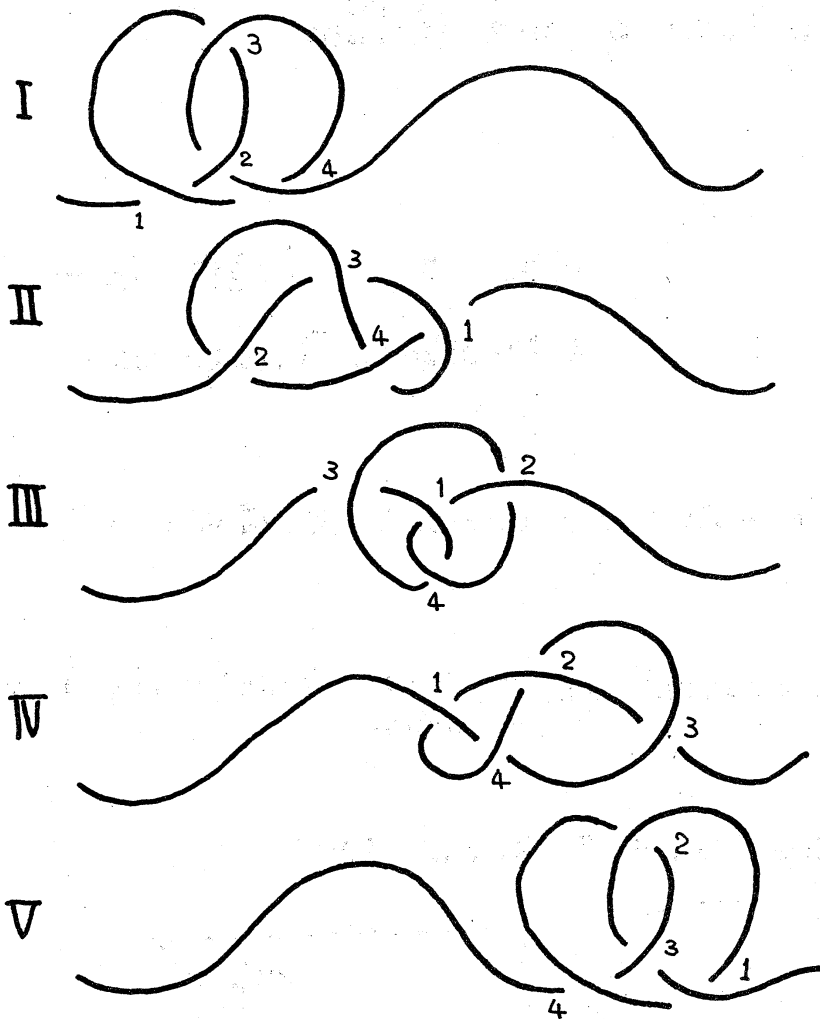
1-knot (knotted arc) $\xrightarrow[\text{operation}]{}$ 2-knot (locally flat)

Examples. (i) Spinning (E. Artin 1925)



(ii) Twist-spinning (R.H. Fox, E.C. Zeeman 1965)

(iii) Roll-spinning (R.H.Fox 1965)



Fox's roll-spun
figure-eight
knot

--- rolling a stocking ---

Twisting, rolling は、 spinning process に knotted arc の "motion" を組みあわせたものである。Fox は上図で得られる 2-knot たり、figure-eight knot の twisting では得られないことを、1-st elementary ideal の 円 分体への表現を

用いて示した。しかし、rolling の厳密な定義は与えていない。
後に、Fox's roll-spun figure-eight knot が trefoil の twisting
では得られる（実は 3-twist-spun trefoil）ことを示す。

§2. Litherland はこれらを包括する deform-spinning を
定義した。

Definition. (R.A. Litherland 1979)

(B^3, β) : (locally flat) ball pair ($\beta \cong B^1$, $\partial\beta = \beta \cap \partial B^3$)

$\forall g : (B^3, \beta) \xrightarrow{\cong} (B^3, \beta)$ with $g|_{\partial B^3} = \text{id}$

$P(g) \stackrel{\text{def}}{=} \partial(B^3, \beta) \times B^2 \underset{g}{\vee} (B^3, \beta) \times \partial B^2$

この時、 $P(g)$ は locally flat sphere pair で、 g の rel ∂B^3 isotopy class にのみ依存する。

$H(B^3, \beta) = \{g ; \text{as above}\}$: group

$D(B^3, \beta) = H(B^3, \beta) / \text{isotopy rel } \partial B^3$: deformation group
of (B^3, β)

$D(B^3, \beta) \ni \gamma$ (deformation と呼ぶ) $g : \gamma$ の代表元

$\gamma(\beta) \stackrel{\text{def}}{=} P(g)$ とし γ . knot $\gamma(\beta) \in \beta$ の γ -spin と呼ぶ。

knotted arc の "motion" \in mapping torus $(B^3, \beta) \times_{g} \partial B^2$
の形で γ の monodromy に吸収されているわけである。

さて便宜上、次の定義を与える。

(S^3, K) : knot $* \in K$: fixed

$$H_S(S^3, K) = \{g : (S^3, K) \xrightarrow{\cong} (S^3, K) \mid g = \text{id} \text{ on some nbd. of } *\}$$

(ここでいうnbd.は g に依存する。)

$$H_S(S^3, K) \ni g, h : g \sim h \Leftrightarrow g \sim h \text{ isotopic rel some nbd. of } *$$

$$D(S^3, K) = H_S(S^3, K)/\sim$$

しかし、 $*$ の standard ball nbd. の complementary ball pair から決まる β を考へることによると、 \exists

$$\text{同型 } \psi : D(B^3, \beta) \xrightarrow{\cong} D(S^3, K)$$

が得られる。そこで、 $D(S^3, K) \ni \gamma$ に対して、 $\gamma(K) \stackrel{\text{def}}{=} \psi(\gamma)(\beta)$ として、 K の γ -spin とする。

この formulation に従う twisting, rolling の定義を与える。

Example 1. Twisting.

$$X = \overline{S^3 - N(K)} : \text{exterior}$$

$\partial X \times I$: collar of $\partial X = K \times \partial D^2$ in X ($\partial X = \partial X \times \text{flat}$)

$$t : (S^3, K) \xrightarrow{\cong} (S^3, K) \text{ by}$$

$$\left\{ \begin{array}{l} t(x \times \bar{\theta} \times \psi) = x \times (\overline{\theta + \psi}) \times \psi \\ (\bar{\theta} \times \psi \in K \times \partial D^2 \times I) \\ t(y) = y \quad (y \notin \partial X \times I) \end{array} \right.$$

$\tau \in \mathcal{D}(S^3, K)$: τ の class

K の τ^m -spin と、 K の m -twist-spin という。

(quotient map $\mathbb{R}^1 \rightarrow S^1$ by $\theta \rightarrow \bar{\theta}$)
 ($\bar{\theta} = \bar{\psi} \Leftrightarrow \theta - \psi \in \mathbb{Z}$)
 により S^1 を parametrize できる。

Example 2. Rolling.

$r : (S^3, K) \xrightarrow{\cong} (S^3, K)$ by

$$\left\{ \begin{array}{l} r(\bar{x} \times \bar{\theta} \times \bar{\psi}) = (\bar{x} + \bar{\psi}) \times \bar{\theta} \times \bar{\psi} \\ (\bar{x} \times \bar{\theta} \times \bar{\psi} \in K \times \partial D^2 \times I) \\ r(y) = y \quad (y \notin \partial X \times I) \end{array} \right.$$

$\rho \in \mathcal{D}(S^3, K)$: ρ の class

K の ρ^l -spin と、 K の l -roll-spin という。

Fox's original idea との対応を詳しく述べるところはまだないが、knotted arc の motion と、exterior の collar で構成していけるにすぎない。

Example 3. Symmetry-rolling.

(S^3, K) ; order $n \neq 0$ の symmetry が τ と。

すなはち $g: (\mathbb{S}^3, K) \xrightarrow{\cong} (\mathbb{S}^3, K)$; period n

$\text{Fix}(g) = \text{unknotted circle } J, J \cap K = \emptyset$

すなはち $\mathbb{S}^3/g = \mathbb{S}^3$ で, $d: \mathbb{S}^3 \rightarrow \mathbb{S}^3$: quotient map

は $\#_1 \in \mathbb{Z}$. $\bar{K} = d(K), \bar{J} = d(J)$ である。

$\text{lk}(\bar{K}, \bar{J}) = \text{lk}(K, J) = j$ は, n の素である。

$K \times D^2$ は, $\bar{K} \times D^2$ の n -fold cyclic cover たり, それは

$$d(\bar{x} \times v) = \overline{n\bar{x}} \times v \quad (\bar{x} \times v \in K \times D^2)$$

で与えられる。従って, $g^j|_{K \times D^2}$ は canonical covering transformation を与える。

$$\bar{x} \times v \rightarrow \overline{(x + \frac{1}{n})} \times v$$

で表せる。 $jk \equiv 1 \pmod{n}$ ならば $k \in \mathbb{Z}$ 。

$$g = g^{jk}; \bar{x} \times v \rightarrow \overline{(x + \frac{k}{n})} \times v \quad (\bar{x} \times v \in K \times D^2)$$

ここで, $s': (\mathbb{S}^3, K) \xrightarrow{\cong} (\mathbb{S}^3, K)$ by

$$\left\{ \begin{array}{l} s'(\bar{x} \times \bar{\theta} \times \psi) = \overline{(x - \frac{k(1-\psi)}{n})} \times \bar{\theta} \times \psi \quad (\bar{x} \times \bar{\theta} \times \psi \in K \times \partial D^2 \times I) \\ s'(\bar{x} \times v) = \overline{(x - \frac{k}{n})} \times v \quad (\bar{x} \times v \in K \times D^2) \\ s'(\eta) = \eta \quad (\eta \in X - (\partial X \times I)) \end{array} \right.$$

とする。 $s' \circ g|_{K \times D^2} = \text{id}$, $s' \circ g|_{X - (\partial X \times I)} = g$ 。

従つて, $\sigma_{g, K} \in \mathcal{D}(\mathbb{S}^3, K)$ で, $s' \circ g$ の class である。

(定義より)、 $n=1$, $g = \text{id}$, J を任意にとると、rollingに
帰着し。 $\sigma_{g,k} = \rho^k$ である。)

Litherlandは。 (S^3, K) に対する、その knot group G の
peripheral subgroup を固定する G の自己同型全体のなす群
 $\text{Aut}_0 G$ が、 $D(S^3, K)$ と同型であることを示し、代数的議
論から次のことを示した。

Theorem $(S^3, T_{P,g})$: (P,g) -type torus knot

$$D(S^3, T_{P,g}) = \langle \tau \rangle \cong \mathbb{Z}, \quad \tau^{pg} = 1.$$

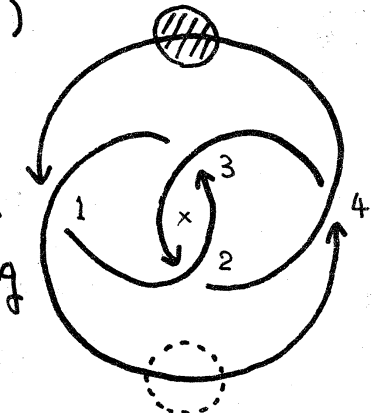
定理は、torus knot に対する deformation が本質的に、
twistingのみであることを意味する。

本稿では、この定理をふまえて、torus knot に対する
rolling, symmetry rolling を“視覚的”に分析する。

§3. rolling, symmetry rolling & knotted arc の “motion”
を扱いたい。Litherland の定義が示唆するように、rolling
は、 (S^3, K) からとりのぞかれる standard ball pair たる knot
の orientation (parametrizationによると) に従って、knot 上
を流れていくことを、complementary ball pair 内の arc の

motion を相対的に表現したものといえる。(Litherland はさらにこの流れを exterior に吸収した。)

前述の Fox's roll-spun figure eight の図で、standard ball pair が i -th crossing を通過することに対応して、 i -th crossing を "送る" motion が生じている。

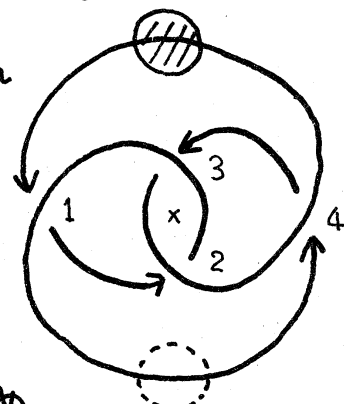


$1 \rightarrow 2 \rightarrow 3 \rightarrow 1$ の順に crossing が送られている

から、Litherland の意味の roll-spun ではなく half-rolling である： Fox's roll-spun figure eight = $\sigma_{g,1}$ (figure eight)

こうして rolling の motion を任意の knot に対して描くことができる。ただし一般には、meridian 方向のねじれを考慮する必要がある。

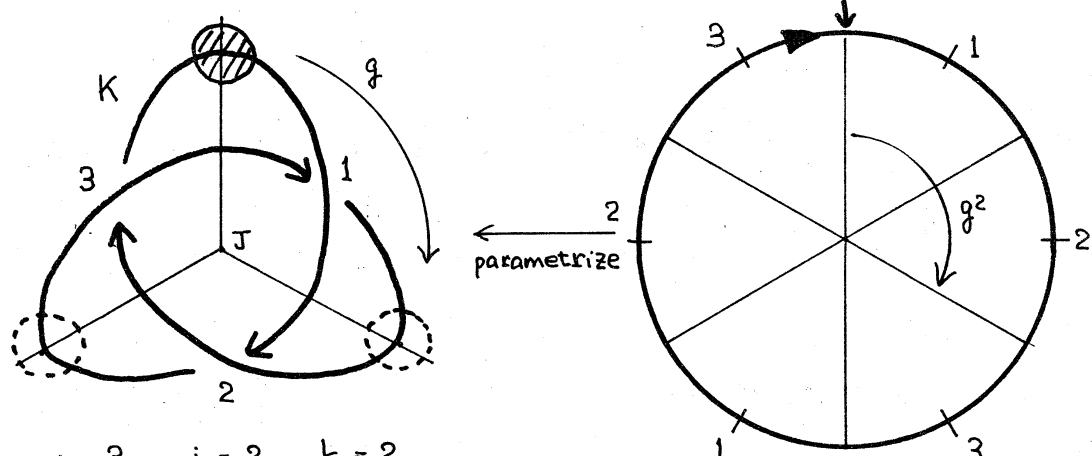
例えば trefoil の場合、standard ball pair が $1 \rightarrow 2 \rightarrow 3 \rightarrow 1$ の順に crossing を通過すると、meridian 方向に 2 周するため。



対応する deformation は $\tau^2 \sigma_{g,1}$ である。(τ の定義より、meridian 方向に arc を回転することは τ^{-1} に対応している。)

さて、 l -roll ρ は standard ball pair が knot に沿って 1 周することに対応する。この観点から、 $\sigma_{g,k}$ を " $\rho^{\frac{k}{n}}$ " と

考えることが自然である； knot に symmetry に応じて parametrization を与えておく。



$$g^2|_{K \times D^2} : \bar{x} \times v \rightarrow \overline{(x + \frac{1}{3}) \times v}$$

standard ball pair が、 $1 \rightarrow 2 \rightarrow 3 \rightarrow 1$ と crossing を通過する
ことが $\sigma_{g,2}$ だが (meridian 方向のねじれは無視しておく。)
これは $\rho^{\frac{2}{3}}$ と考える。同様に、 $1 \rightarrow 2$ に対応する $\rho^{\frac{1}{3}}$ が定義
できる。一般に、 g^j は $\rho^{\frac{j}{n}}$ に対応する。(§2 Example 3 の
notation) deformation として厳密な定義は、 $\sigma_{g,k}$ と同
様に行なえるが、ここではむしろ knotted arc の "motion"
として定義する。

この notation を用いて、Litherland の定理から次のことが
すぐわかる。

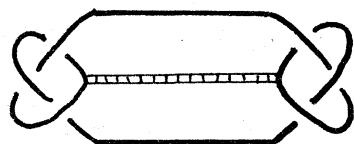
Theorem 1 $\mathcal{D}(S^3, T_{p,q})$ において.

$$\rho^{\frac{1}{p}} = \tau^{-q}, \quad \rho^{\frac{1}{q}} = \tau^{-p}$$

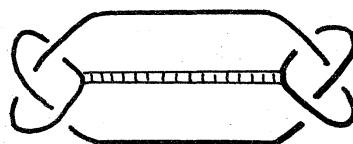
Remark. $T_{p,q} (0 < p < q)$ の periods は p, q の素因数である。

§4. Moving picture method により。Thm 1 を証明する。

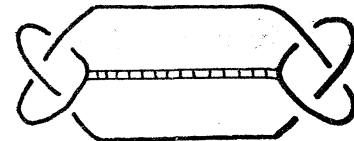
$\mathbb{R}^4 = \mathbb{R}^3 \times \mathbb{R}$ 内の hyperplanes $\mathbb{R}^3[t] = \mathbb{R}^3 \times \{t\}$ による cross sections をみる。簡略のため、equatorial cross section ($t=0$) 及び $t=\pm 1$ level の critical bands を示している。



$t = 1$



$t = 0$



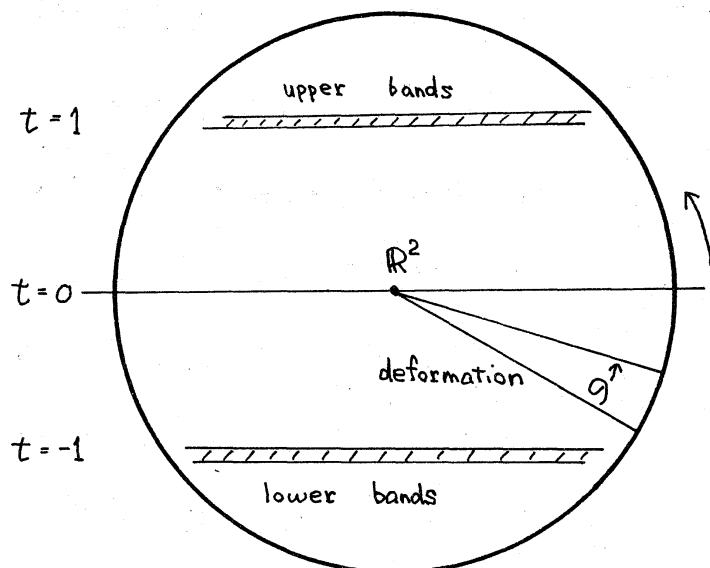
$t = -1$



τ^0 (trefoil)

τ^{-2} (trefoil)

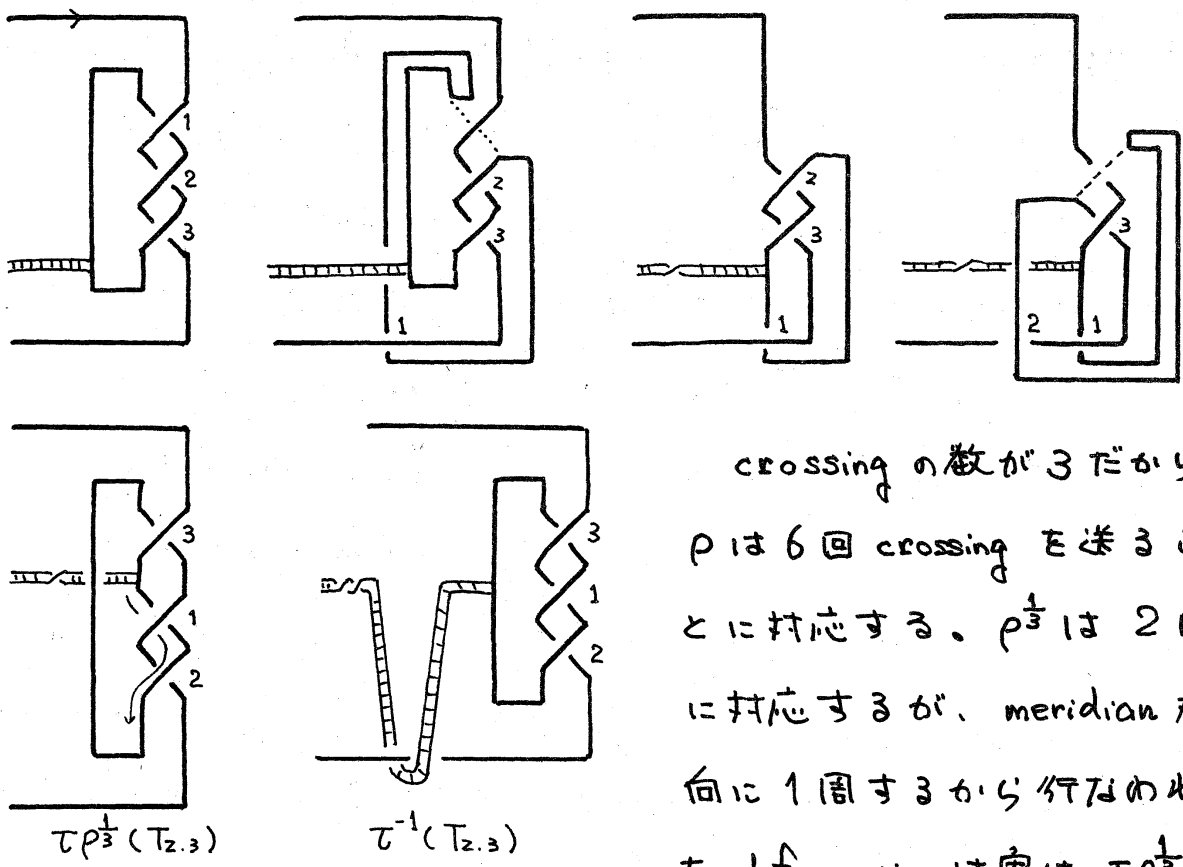
τ^0 -spinning に対しては、original knotted arc の \mathbb{R}^3_+ 内の minimal points に対応して bands が生じる。一般的 deformation に対しては次の様に考える； spinning processにおいて、lower bands の生じた後に deformation を行なう。次に、



deformation に従って
cellular move で lower
bands をひきあげる。
こうして、deformation
の情報を lower bands
のみに集めることができ
る。形式的には、bands

を伴なったまま deformation - arc motion を行なえば、
望む bands が得られる。例えば τ^2 (trefoil) は先の図に示した lower band を持つ。（詳細は金信氏の論文を御覧下さい。）

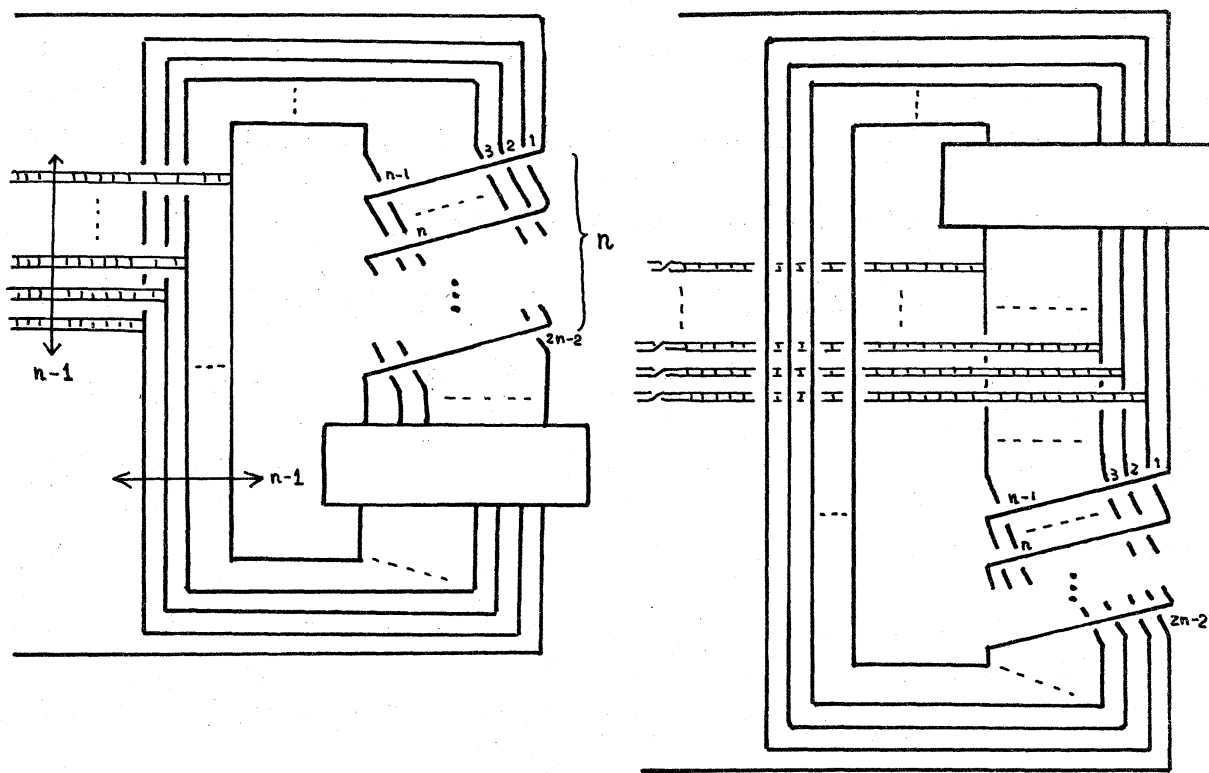
さて Thm 1 を証明する。まず、 $T_{2,3}$ に対して $\rho^{\frac{1}{3}}(T_{2,3}) = \tau^2(T_{2,3})$ を示す。ここでの等号の意味は、2-knot として same type であることが、Litherland の定理とあわせて deformation として一致することがわかる。



crossing の数が 3 だから
 P は 6 回 crossing を送ることに相当する。 $P^{\frac{1}{3}}$ は 2 回に相当するが、meridian 方向に 1 周するから行なわれた deformation は実は $T P^{\frac{1}{3}}$

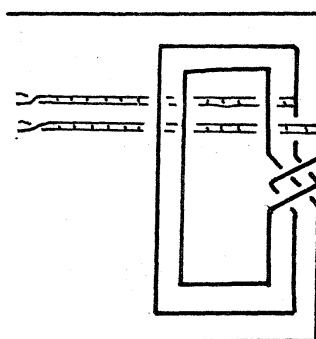
である。しかしとの lower band は、twisting band であることがわかる。従って $T P^{\frac{1}{3}} (T_{2,3}) = T^{-1} (T_{2,3})$ i.e. $P^{\frac{1}{3}} (T_{2,3}) = T^{-2} (T_{2,3})$ である。同様に、3-rd crossing の部分を $(P-2)$ half twists できかえることで、 $P^{\frac{1}{p}} (T_{2,p}) = T^{-2} (T_{2,p})$ ($P \geq 3$) を得る。

一般に $T_{n,p}$ ($P \geq n+1$) に対して、 $P^{\frac{1}{p}} (T_{n,p}) = T^{-n} (T_{n,p})$ を示すには $T_{n,n+1}$ について考えれば十分である。次図のよう $T_{n,p}$ の projection をみる。crossing は $(n-1) \cdot P$ 個あるから、 P は $2(n-1) \cdot P$ 回、 $P^{\frac{1}{p}}$ は $2(n-1)$ 回 crossing を送ること

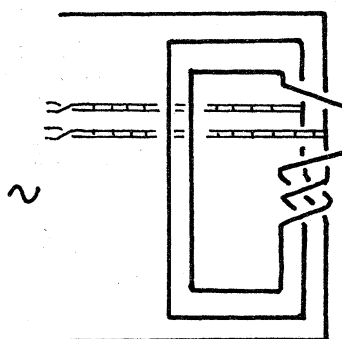


に対応する。meridian 方向に $(n-1)$ 周するから、deformation $\tau^{n-1} \rho^{\frac{1}{p}}$ である。さて $T_{z,3}$ の場合と同様に、acc motion を行なうた後 accを元の形に整えると、lower bands は上図右のようになる。内側の band から順に \wedge slide させて引き出すと、 τ^{-1} に相当する bands であることがわかる。従って $\tau^{n-1} \rho^{\frac{1}{p}} (T_{n,p}) = \tau^{-1} (T_{n,p})$ i.e. $\rho^{\frac{1}{p}} (T_{n,p}) = \tau^{-n} (T_{n,p})$ を得る。（一般に扱う必要があるから、motionを行なう間及び acc を元の形に整える時、bands はできるだけ動かしたくな。 acc の形を復元することが優先する。その際、新たに crossing を作ることは許されない。）

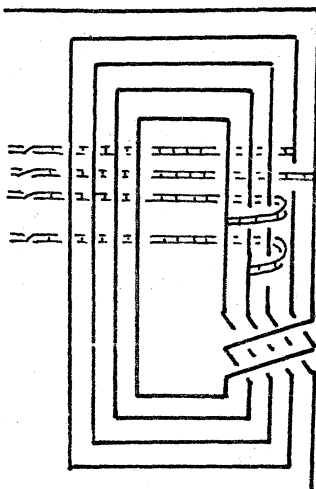
次に、 $T_{n,p}$ ($n > p$) に対して $\rho^{\frac{1}{2}}(T_{n,p}) = \tau^{-n}(T_{n,p})$ を示す。先と同様に、crossing が $(n-1)p$ 個 a projection において、 $\rho^{\frac{1}{2}}$ は $2(n-1)$ 個を crossings を通る motion に対応する。しかし meridian 方向に $(n-1)$ 回ずるから、対応する deformation は $\tau^{n-1}\rho^{\frac{1}{2}}$ である。従って、motion によって生じる lower bands が先と同様に、 (-1) -twisting bands であることをみればよい。



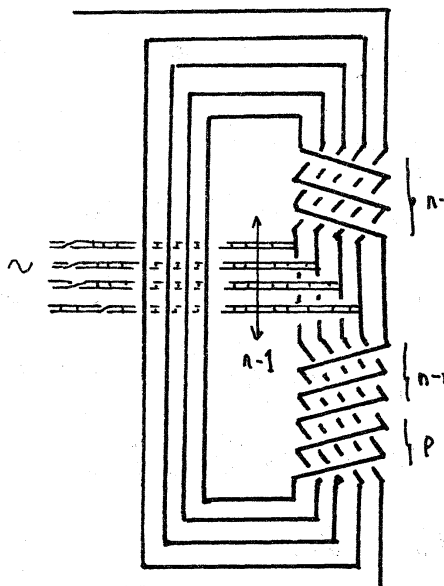
$$\tau^2 \rho^{\frac{1}{2}}(T_{3,2})$$



bands は少し違うが、図のようにしてやると $T_{n,p}$ ($n < p$) の場合と同じ bands E F へ slide して、twisting bands である。



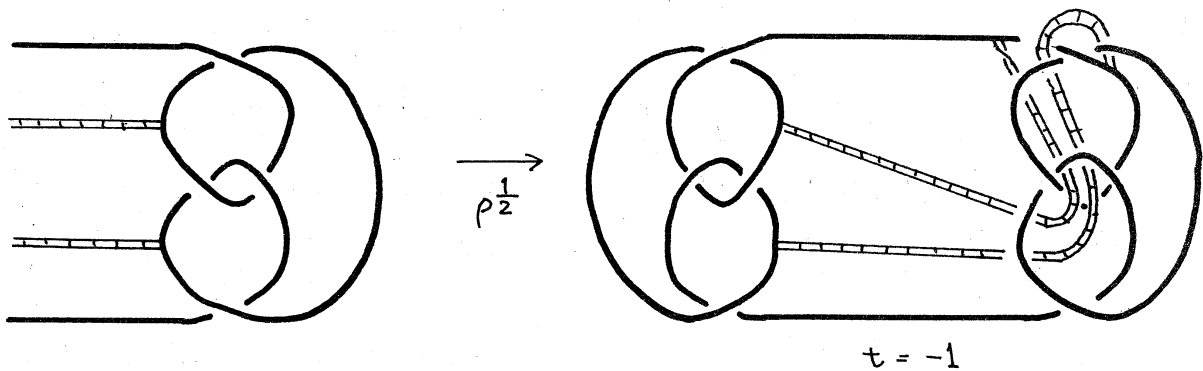
$$\tau^4 \rho^{\frac{1}{2}}(T_{5,2})$$



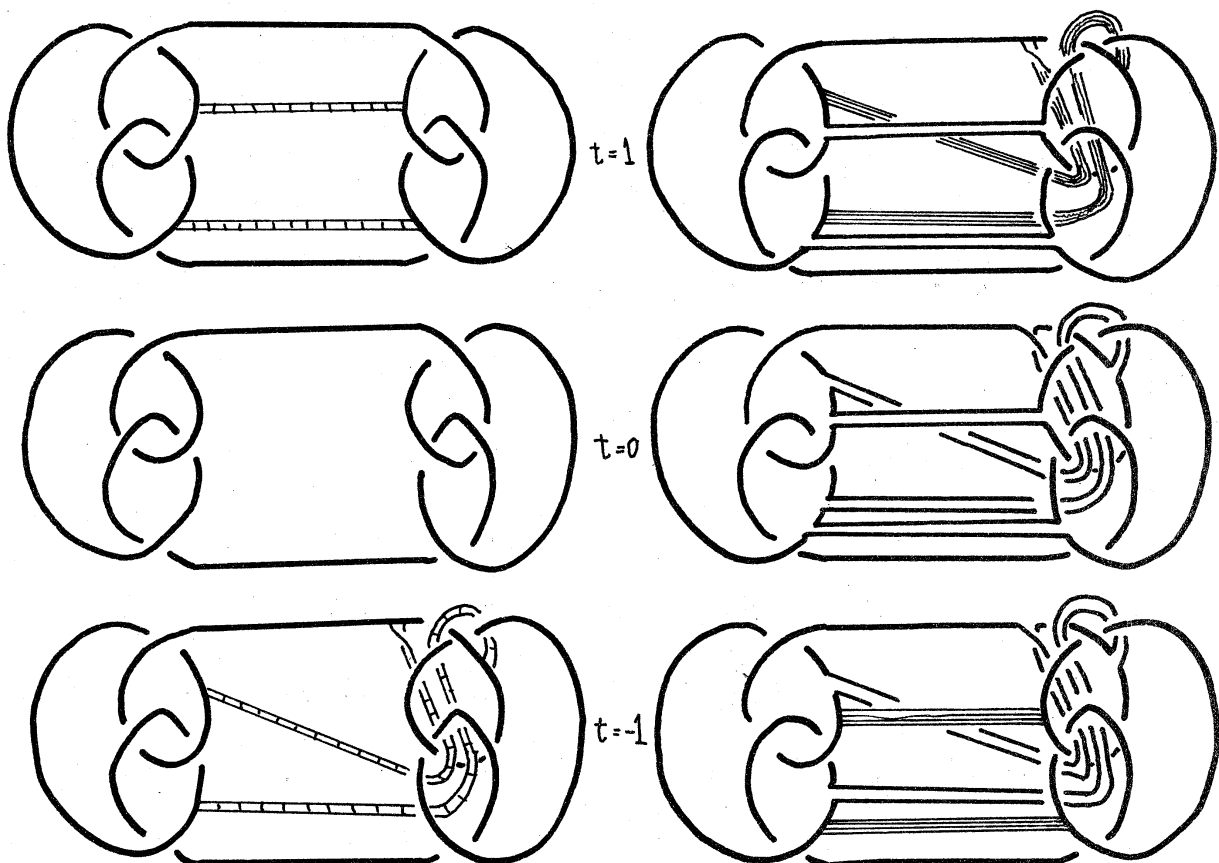
$$\begin{matrix} n-p \\ \vdots \\ p \end{matrix}$$

一般に、左図のようないower bands となり
(arc の復元後)
 n と p の差に關係する。

§5 最後は, Fox's roll-spun figure eight knot i.e. $\rho^{\frac{1}{2}}$ (figure eight) or 3-twist-spun trefoilであることを moving picture method により示す。



これは $t = -1$ level にある lower bands である。



図のように upper bands & lower bands on level を入れかえ
る。そして \mathbb{R}^4 の vertical-line-preserving ambient isotopy

によつて、左図になおせる。

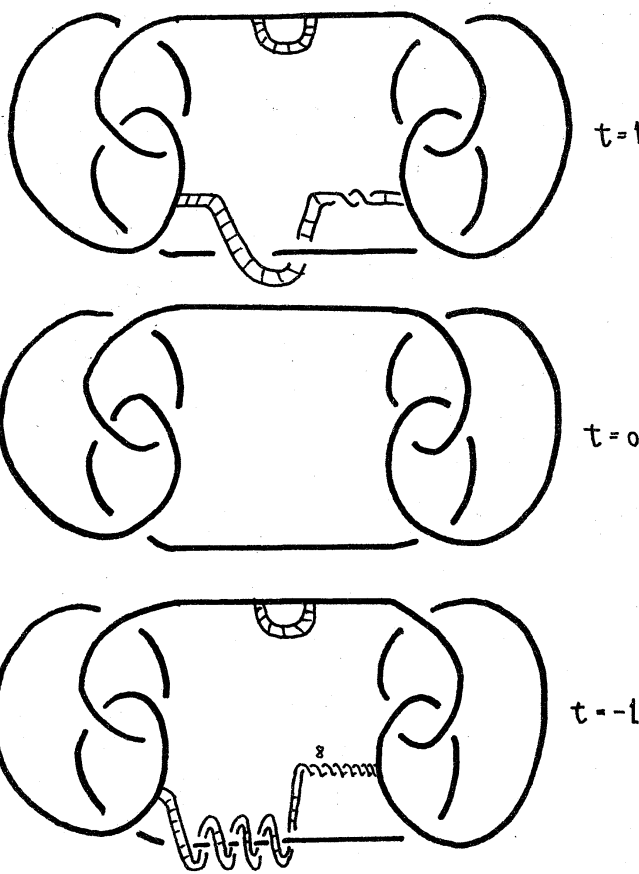
さらに、upper band の
からみを解消する u-l-p
ambient isotopy を行な
えば、deformation の情
報を lower band に集め
ることができ、3-twist-
ing band である。

こうして、

$$\rho^{\frac{1}{2}} \text{(figure-eight)} \\ = \tau^3 \text{(trefoil)}$$

を得る。

これは、prism manifold $M_{1,2} = (-1, (0_1, 0); (2,1), (2,1)(2,1))$
を punct したものを fiber に持つ fibered 2-knot である。
torus knot 上の knot に対する deformation では、興味
深い現象が様々起こるみたい。それについてには稿を改めた。



References

Zeeman, E.C., 1965 : Twisting spun knots. Trans. Amer. Math. Soc., 115 (1965) 471 - 495

Fox, R. H., 1966 : Rolling. Bull. Amer. Math. Soc., 72 (1966) 162 - 164

Litherland, R.A., 1979 : Deforming twist-spun knots. Trans. Amer. Math. Soc., 250 (1979) 311 - 331

Kanenobu, T., 1983 : Fox's 2-spheres are twist spun knots.
Mem. Fac. Sci. Kyushu Univ., Ser. A, 37 (1983)
81 - 86